

# Реферат по статье "Passive Underwater Target Tracking: Conditionally Minimax Nonlinear Filtering with Bearing-Doppler Observations"

Шурыгин Всеволод, группа 416

Московский государственный университет имени М.В. Ломоносова

Факультет вычислительной математики и кибернетики

Кафедра Математической статистики

Преподаватель: Горшенин Андрей Константинович

## ① Постановка задачи

Описание модели

Система наблюдения

Формализация

## ② Алгоритмы фильтрации

EKF-1 — Расширенный фильтр Калмана первого порядка

Корневой аналог расширенного фильтра Калмана

CMNF — Условно-минимаксный нелинейный фильтр

Необходимые для реализации дополнительные сведения

## ③ Эксперименты

Компоненты и их оценки

Ошибки оценивания и оценки СКО по алгоритмам

Решается задача о слежении за маневрированием подводного аппарата. Движение аппарата описывается следующей системой:

$$\left\{ \begin{array}{l} dX_t = dx_t = v_t \cos \varphi_t dt \\ dY_t = dy_t = v_t \sin \varphi_t dt \\ dZ_t = dz_t = 0 \\ dv_t = 0 \\ d\varphi_t = \frac{a_t^n}{v_t} dt \\ da_t^n = (-\lambda a_t^n + \nu) dt + \mu dW_t \end{array} \right.$$

$x_t, y_t, z_t$  — координаты подводного аппарата в его системе отсчета,  $X_t, Y_t, Z_t$  — координаты системы отсчёта в системе наблюдателя. Для простоты возьмём единичную матрицу поворота, а сдвиг пусть отвечает начальным условиям на  $x_t, y_t, z_t$ .

# Система наблюдения

Каждый из датчиков наблюдает следующие величины:

$$\xi_{t_k}^i = \frac{Z_{t_k} - Z^i}{R_{t_k}^i} + v_k^{\xi^i} \quad (1)$$

$$\eta_{t_k}^i = \frac{X_{t_k} - X^i}{r_{t_k}^i} + v_k^{\eta^i} \quad (2)$$

где  $i = 1, \dots, N$  и

$$R_{t_k}^i = \sqrt{(X_{t_k} - X^i)^2 + (Y_{t_k} - Y^i)^2 + (Z_{t_k} - Z^i)^2},$$
$$r_{t_k}^i = \sqrt{(X_{t_k} - X^i)^2 + (Y_{t_k} - Y^i)^2}$$

расстояние от наблюдателя до цели и длина проекции на плоскость  $Z = 0$  соответственно.

Последняя компонента наблюдений описывает эффект Доплера из-за движения аппарата относительно сенсора.

$$\omega_{t_k}^i = \frac{\omega_0}{1 - V_{t_k}^i / C} + v_k^{\omega^i} \quad (3)$$

где  $V_{t_k}^i = \frac{V_{t_k}^X(X_{t_k} - X^i) + V_{t_k}^Y(Y_{t_k} - Y^i) + V_{t_k}^Z(Z_{t_k} - Z^i)}{R_{t_k}^i}$  — скорость аппарата относительно наблюдателя. Последовательность  $(v_k^{\xi^1}, v_k^{\eta^1}, v_k^{\omega^1}, \dots, v_k^{\xi^N}, v_k^{\eta^N}, v_k^{\omega^N})^T$  описывает погрешность показаний датчиков и состоит из независимых и одинаково распределенных векторов с некоррелированными компонентами.

Получили задачу фильтрации с дискретно-непрерывной системой:

$$d\mathcal{X}(t) = a(\mathcal{X}(t))dt + b(t)dW_t,$$

$$\mathcal{X}(0) = \mathcal{X}_0 \sim \pi_0 : \mathbb{E}[\mathcal{X}_0] = \mu_0$$

$$\text{cov}(\mathcal{X}_0, \mathcal{X}_0) = D_0$$

$$\mathcal{Y}(t_k) = A(\mathcal{X}(t_k)) + B_{t_k}W_{t_k}, k \in \mathbb{N}$$

В нашей задаче

$$a(\mathcal{X}_t) = \begin{pmatrix} v_t \cos(\varphi_t) \\ v_t \sin(\varphi_t) \\ 0 \\ 0 \\ \frac{a_t^n}{v_t} \\ -\lambda a_t^n + \nu \end{pmatrix}$$

$$b(t) = b = \begin{pmatrix} 0 \\ 0 \\ 0 \\ 0 \\ 0 \\ \mu \end{pmatrix}$$

Комбинированные пеленгово-доплеровские наблюдения:

$$Y_k = \text{col} \left( (\xi_{t_k}^i, \eta_{t_k}^i, \omega_{t_k}^i)^T \right)$$

$$A(\mathcal{X}_t) = \text{col} \left( \left\{ \left( \frac{Z_t - Z^i}{R_t^i}, \frac{X_t - X^i}{r_t^i}, \frac{\omega_0}{1 - V_t^i/C} \right) \right\} \right),$$

$$B_{t_k} = B = \text{diag} \left( \text{col} \left( \left\{ \left( \sigma_{i,1}^2, \sigma_{i,2}^2, \sigma_{i,3}^2 \right) \right\} \right) \right), i = 1, \dots, N$$

где  $\text{col}()$  — конкатенация векторов в один,  $i = 1, \dots, N$ ,  $N$  — число датчиков.

Посчитаем для реализации EKF-1 матрицы Якоби для  $a$  и  $A$ :

$$\frac{\partial a(\mathcal{X}_t)}{\partial (\mathcal{X}_t)} = \begin{pmatrix} 0 & 0 & 0 & \cos \varphi_t & -v_t \sin \varphi_t & 0 \\ 0 & 0 & 0 & \sin \varphi_t & v_t \cos \varphi_t & 0 \\ 0 & 0 & 0 & 0 & 0 & 0 \\ 0 & 0 & 0 & 0 & 0 & 0 \\ 0 & 0 & 0 & -a_t^n / v_t^2 & 0 & 1/v_t \\ 0 & 0 & 0 & 0 & 0 & -\lambda \end{pmatrix}$$



$$\frac{\partial A(\mathcal{X}_t)}{\partial(\mathcal{X}_t)} = \text{col} \left( \left\{ \begin{pmatrix} \xi_X^i & \xi_Y^i & \xi_Z^i & 0 & 0 & 0 \\ \eta_X^i & \eta_Y^i & 0 & 0 & 0 & 0 \\ \omega_X^i & \omega_Y^i & \omega_Z^i & \omega_v^i & \omega_\phi^i & 0 \end{pmatrix} \right\}_{i=1}^N \right),$$

где производные, обозначенные в матрице Якоби  $\frac{\partial A(\mathcal{X}_t)}{\partial(\mathcal{X}_t)}$  :

$$\xi_X^i = - \frac{(Z_t - Z^i) (X_t - X^i)}{(R_t^i)^3}$$

$$\xi_Y^i = - \frac{(Z_t - Z^i) (Y_t - Y^i)}{(R_t^i)^3}$$

$$\xi_Z^i = \frac{R^2 - (Z_t - Z^i)^2}{(R_t^i)^3}$$

$$\eta_X^i = \frac{(r_t^i)^2 - (X_t - X^i)^2}{(r_t^i)^3}$$

$$\eta_Y^i = -\frac{(X_t - X^i)(Y_t - Y^i)}{(r_t^i)^3}$$

$$\omega_X^i = -\omega_0 \frac{V_{t_k}^X (X_t - X^i) - V_{t_k}^i R}{R^2 C (1 - V_{t_k}^i / C)^2}$$

$$\omega_Y^i = -\omega_0 \frac{V_{t_k}^Y (Y_t - Y^i) - V_{t_k}^i R}{R^2 C (1 - V_{t_k}^i / C)^2}$$

$$\omega_Z^i = -\omega_0 \frac{(Z_t - Z^i) V_{t_k}^i}{R^2 C (1 - V_{t_k}^i / C)^2}$$

$$\omega_v^i = \omega_0 \frac{V_{t_k}^i}{v_t C (1 - V_{t_k}^i / C)^2}$$

$$\omega_\phi^i = \omega_0 \frac{(v_t \cos \varphi_t)_t (Y_t - Y^i) - (v_t \sin \varphi_t)_t (X_t - X^i)}{R C (1 - V_{t_k}^i / C)^2}$$

Расширенный фильтр Калмана — это линеаризованный фильтр Калмана, в котором в качестве опорной траектории выступает оценка на предыдущем шаге, т.е.  $\hat{x} = \hat{X}(t - 1)$ .

В нашей задаче используется ЕКФ первого порядка для непрерывно-дискретных систем наблюдения, в котором уравнение динамики является СДУ, а наблюдения дискретны.

Для моделирования динамики и прогнозов используется метод Эйлера-Маруямы.

## 1. Начальное условие

$$\hat{X}(0) = m_0,$$

$$k(0) = D_0.$$

## 2. Шаг прогноза.

$$d\hat{X}(t) = a(\hat{X}(t))dt, \quad t \in (t_{k-1}, t_k) \quad (4)$$

## 3. Шаг коррекции.

$$\hat{X}(t_k) = \hat{X}(t_{k-}) + k(t_{k-}) \left( \frac{\partial A_t(x)}{\partial x} \Big|_{\hat{X}(t_{k-})} \right)^T \left( \frac{\partial A_t(x)}{\partial x} \Big|_{\hat{X}(t_{k-})} k(t_{k-}) \times \right. \\ \left. \left( \frac{\partial A_t(x)}{\partial x} \Big|_{\hat{X}(t_{k-})} \right)^T + B_{t_{k-}} B_{t_{k-}}^T \right)^{-1} \times \left( Y_k - A_t(\hat{X}(t_{k-})) \right) \quad (6)$$

$$k(t_k) = k(t_k) - k(t_{k-}) \left( \frac{\partial A_t(x)}{\partial x} \Big|_{\hat{X}(t_{k-})} \right)^T \left( \frac{\partial A_t(x)}{\partial x} \Big|_{\hat{X}(t_{k-})} k(t_{k-}) \times \right. \\ \left. \times \left( \frac{\partial A_t(x)}{\partial x} \Big|_{\hat{X}(t_{k-})} \right)^T + B_{t_{k-}} B_{t_{k-}}^T \right)^{-1} \times \frac{\partial A_t(x)}{\partial x} \Big|_{\hat{X}(t_{k-})} k(t_{k-}) \quad (7)$$

# Корневой аналог расширенного фильтра Калмана

## 1. Начальное условие

$$\hat{X}(0) = m_0$$
$$\tilde{s}_0 = \text{cholecky}(\text{cov}(m_0, m_0))$$

## 2. Шаг прогноза.

$$\tilde{X}_t = a_t \hat{X}_{t-1} + c_t \quad (8)$$

$$N\left\{\underbrace{\tilde{s}_t}_N \underbrace{0}_M\right\} = \begin{bmatrix} a_t s_{t-1} & (b_t b_t^T)^{\frac{1}{2}} \end{bmatrix} \tilde{T}_t \quad (9)$$

где  $\tilde{T}_t$  - ортогональная матрица, обеспечивающая выполнение равенства. В работе найдена с помощью процедуры Грама-Шмидта, а точнее с помощью использований QR-разложений для ортогонализации (реализация в коде ниже).

## 3. Шаг коррекции (вариант последовательной обработки скалярных измерений):

$$i = 1, \dots, M, \quad s_t^0 = \tilde{s}_t, \quad s_t = s_t^M, \quad \hat{X}_t^0 = \tilde{X}_t, \quad \hat{X}_t = \hat{X}_t^M : \\ D_t^i = A_t^i s_t^{i-1},$$

$$\mu_t^i = \left( D_t^i (D_t^i)^T + B_t^1 (B_t^1)^T \right)^{-1}$$

$$v_t^i = \left( 1 + \sqrt{\mu_t^i B_t^1 (B_t^1)^T} \right)^{-1}$$

$$\hat{X}_t^i = \hat{X}_t^{i-1} + \mu_t^i s_t^{i-1} (D_t^i)^T \left( Y_t^i - A_t^i \hat{X}_t^{i-1} - C_t^i \right) \quad (10)$$

$$s_t^i = s_t^{i-1} - \mu_t^i v_t^i s_t^{i-1} (D_t^i)^T D_t^i \quad (11)$$

## 1. Начальное условие.

Моделируется выборка синтетического состояния  $\{X_0^{(i)}\}_{i=1,N} \sim \pi_0(x)$ .

Вычисляются  $\hat{X}_0$  - целевая оценка фильтрации в начальный момент времени,  $\hat{K}_0^{XX}$  - ковариационная матрица ошибки оценки фильтрации в начальный момент времени. Формируется выборка синтетических оценок фильтрации в начальный момент времени

$$\{\hat{X}_0^{(i)}\}_{i=1,N} : \hat{X}_0^{(i)} \equiv \hat{X}_0.$$



## 2. Шаг прогноза.

Пусть на предыдущем шаге  $k - 1$  имеются оценка состояния  $\hat{X}_{k-1}$ , выборки синтетических состояний  $\{X_{k-1}^{(i)}\}_{i=1,N}$  и синтетических оценок фильтрации  $\{\hat{X}_{k-1}^{(i)}\}_{i=1,N}$ .

2.1. Методом Эйлера-Маруямы с малым шагом моделируем выборку синтетического состояния  $\{X_k^{(i)}\}_{i=1,N}$  в следующий момент времени  $t_k$ . По ней строим наблюдения  $\{Y_k^{(i)}\}_{i=1,N}$ .

2.2. Вычисляем выборки синтетических базовых прогнозов  $\{\alpha_k(\hat{X}_{k-1}^{(i)})\}_{i=1,N}$  и синтетических

$$\hat{X}_0 = \frac{1}{N} \sum_{i=1}^N X_0^{(i)}, \quad \hat{K}_0^{xx} = \frac{1}{N-n} \sum_{i=1}^N (X_0^{(i)} - \hat{X}_0) (X_0^{(i)} - \hat{X}_0)^T \quad (12)$$

базовых коррекций  $\{\gamma_k(\hat{X}_{k-1}^{(i)}, \beta_k(Y_k^{(i)}))\}_{i=1,N}$ .

2.3. По пучку синтетических объектов

Строим выборочные моменты  $m_k, \bar{R}_k$ . В качестве верхней оценки в работе взяли  $R$  с занесением отрицельных элементов

2.4. По целевой оценке фильтрации  $\hat{X}_{k-1}$  и наблюдениям  $Y_k$  вычисляем целевой базовый прогноз  $\alpha_k(\hat{X}_{k-1})$  и целевую базовую коррекцию  $\gamma_k(\hat{X}_{k-1}, \beta_k(Y_k))$ .

2.5. Модифицируем выборку синтетических прогнозов

$\{\alpha_k(\hat{X}_{k-1}^{(i)})\}_{i=1,N}$  и синтетических коррекций  $\gamma_k(\hat{X}_{k-1}, \beta_k(Y_k))$ .

## 3. Шаг коррекции.

3.1. По выборке синтетических объектов

строим выборку синтетических оценок фильтрации  $\{\hat{X}_k^{(i)}\}_{i=1, N}$ .

3.2. По модифицированным целевым прогнозу и коррекции  $\begin{bmatrix} \check{X}_k \\ \check{\gamma}_k \end{bmatrix}$

строим оценку состояния  $\hat{X}_k$  и ковариационную матрицу ее ошибки  $\bar{R}_k^{XX}$ .

Моделируются состояния с помощью метода Эйлера-Маруямы:

$$0 = t_0 < t_1 < \dots < t_N = T, \quad h = T/N$$

Получаем стохастическую динамическую систему наблюдения с дискретным временем:

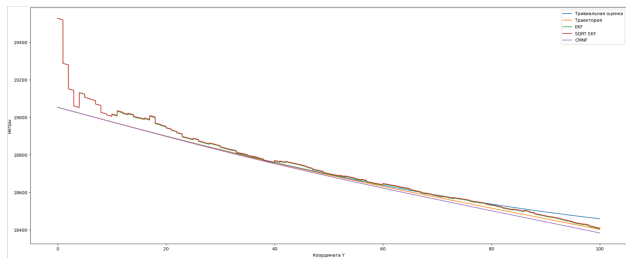
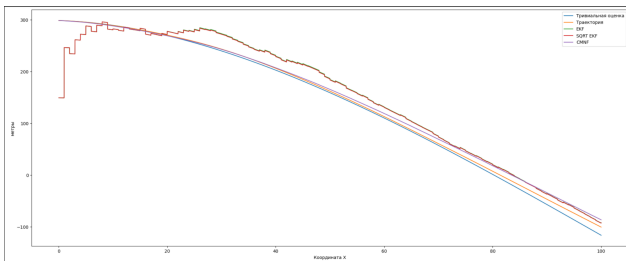
$$X_0 = X(0)$$

$$b(X_t) = \begin{pmatrix} 0 \\ 0 \\ 0 \\ 0 \\ \mu \end{pmatrix}, X_t \sim \mathcal{N}(0, 1)$$

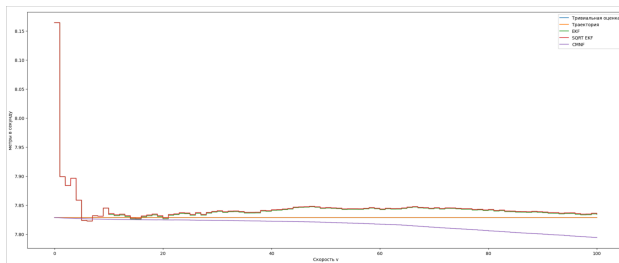
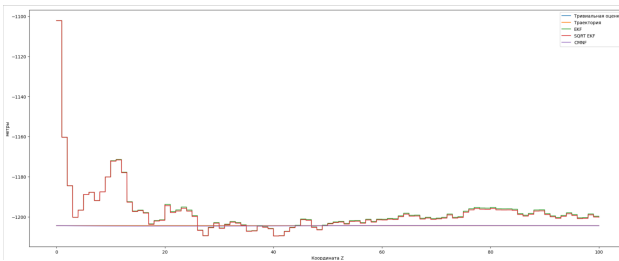
$$X_{t+1} = X_t + a(X_t) \cdot h_1 + b(X_t) * V_t \cdot \sqrt{h} \quad (13)$$

- Шаг для наблюдений шаг  $\delta_3 = 1$  секунда.
- Шаг фильтрации для прогноза шаг  $\delta_2 = 10^{-2}$  секунд.
- Шаг для моделирования траектории  $\delta_1 = 10^{-3}$  секунд.

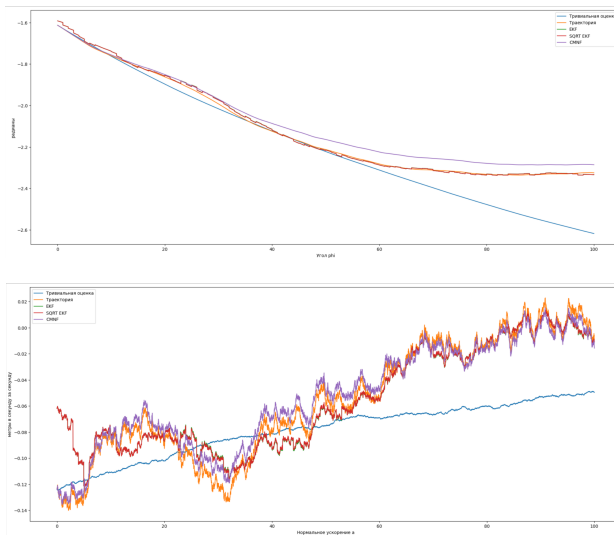
# Компоненты и их оценки



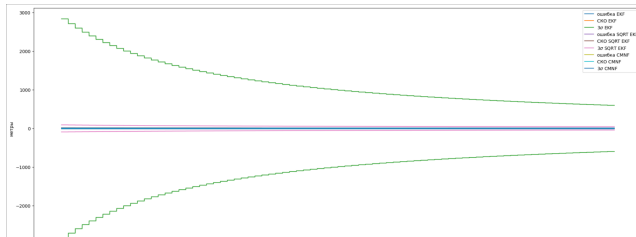
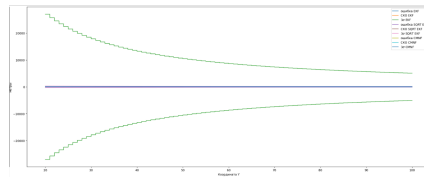
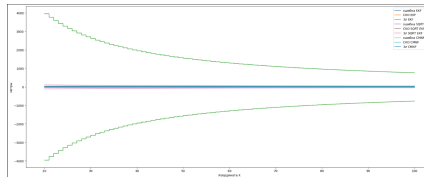
# Компоненты и их оценки



# Компоненты и их оценки

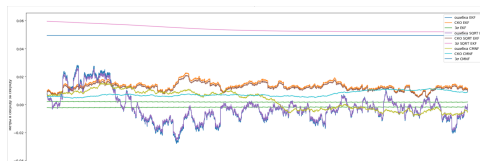
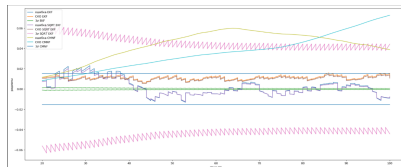
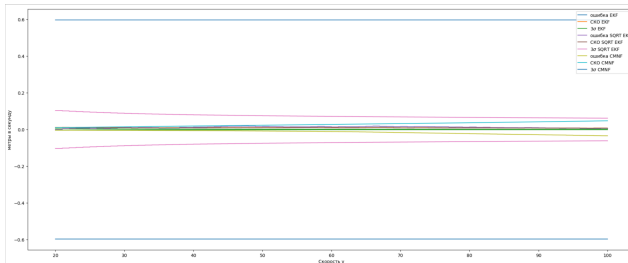


# Ошибки оценивания и оценки СКО по алгоритмам

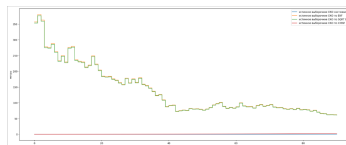
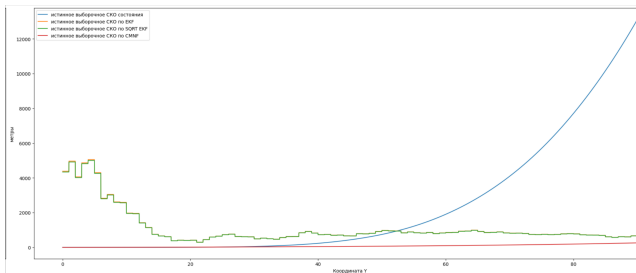
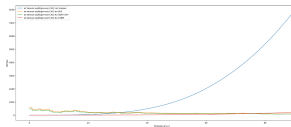




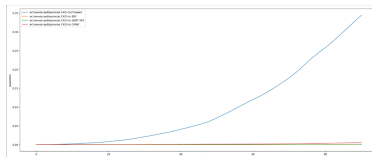
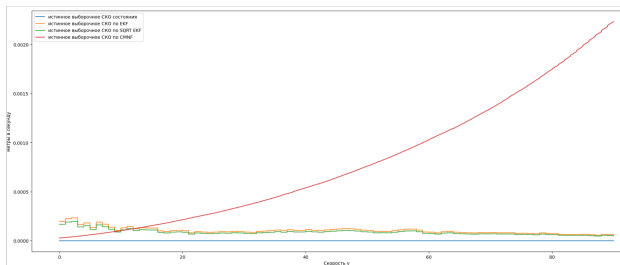
# Ошибки оценивания и оценки СКО по алгоритмам



# Истинные выборочные СКО






# Истинные выборочные СКО



## Выводы по результатам экспериментов

- Результаты работы расширенного фильтра Калмана и его корневого аналога оказались практически идентичны.
- Фильтры справляются с поставленной задачей оценивания лучше тривиальной оценки (безусловного матожидания) для всех компонент, кроме координаты  $Z$  и скорости  $v$ , потому что по условию задачи те не меняются. По остальным параметрам ( $X$ ,  $Y$ ,  $\rho h i$ ,  $a$ ) преимущество особенно заметно с течением времени, когда тривиальное "усреднение" уже не позволяет обрабатывать накопившуюся ошибку.
- Если сравнивать результаты фильтров между собой, CMNF показал большую устойчивость по проценту расходящихся траекторий и более точную оценку координаты  $Z$ , но достаточно сильно со временем начинает ошибаться с оценкой скорости  $v$ .

-  Borisov, A.; Bosov, A.; Miiler, B.; Miller, G. — "Passive Underwater Target Tracking: Conditionally Minimax Nonlinear Filtering with Bearing-Doppler Observations— Institute of Informatics Problems of Federal Research Center “Computer Science and Control”, 2020.
-  Bosov, A.; Borisov, A.; Semenikhin, K. — "Conditionally Minimax Prediction in Nonlinear Stochastic Systems.— IFAC PapersOnLine, 2015.
-  Kalman, R.E. — "A New Approach to Linear Filtering and Prediction Problems.— ASME Basic Eng, 1960.